

**ПОЛНЫЕ НЕЛИНЕЙНЫЕ УРАВНЕНИЯ МЕМБРАННОЙ ОБОЛОЧКИ
В КОСОУГОЛЬНОЙ СИСТЕМЕ КООРДИНАТ**

Л. Н. ПОКРОВСКИЙ

(*Москва*)

В [1] получены строгие нелинейные уравнения мягкой оболочки в предположении, что криволинейные координаты на недеформированной поверхности являются линиями главных кривизн. Использовался вариационный подход. В публикуемой работе другим способом на основе [2-4] аналогичные уравнения построены в произвольной косоугольной системе координат. Полученные уравнения описывают напряженно-деформированное состояние оболочки при любых значениях относительных деформаций и при любых перемещениях. Они являются полными в том смысле, что из них как частные случаи вытекают уравнения безмоментных, мягких и сетчатых оболочек.

1. Обозначим через $M(\alpha, \beta)$ радиус-вектор произвольной точки недеформированной поверхности оболочки, α и β — криволинейные координаты на поверхности, χ — угол между координатными линиями, A и B — коэффициенты первой квадратичной формы, L , M и N — коэффициенты второй квадратичной формы поверхности.

В дальнейшем используются формулы для вторых производных вектора M по координатам α , β (ниже выписана только одна из этих формул) [2]:

$$M_{\alpha\alpha} = \Gamma_{11}^1 M_\alpha + \Gamma_{11}^2 M_\beta + L n \quad (1.1)$$

где Γ_{ij}^k — символы Кристоффеля, n — единичный вектор нормали к поверхности, нижними индексами α и β здесь и в дальнейшем обозначены частные производные.

Необходимы будут также формулы Вейнгартена для производных вектора нормали

$$n_{\alpha,\beta} = a_{1,2} M_\alpha + b_{2,1} M_\beta \quad (1.2)$$

где $a_{1,2}$ и $b_{2,1}$ — коэффициенты, выражющиеся через A , B , L , M , N , χ [2].

Выражение для вектора смещения представим в виде

$$u = u M_\alpha / A + v M_\beta / B + w n \quad (1.3)$$

где u и v — тангенциальные компоненты вектора смещения, w — смещение по нормали к поверхности.

Продифференцируем (1.3) с использованием формул (1.1) и (1.2). Получим

$$u_\alpha = \varepsilon_1 \frac{M_\alpha}{A} + \gamma_1 \frac{M_\beta}{B} + \theta_1 n, \quad u_\beta = \gamma_2 \frac{M_\alpha}{A} + \varepsilon_2 \frac{M_\beta}{B} + \theta_2 n \quad (1.4)$$

$$\varepsilon_1 = u_\alpha + u \left(\Gamma_{11}^1 - \frac{A_\alpha}{A} \right) + v \frac{A}{B} \Gamma_{12}^1 + w a_1 A$$

$$\gamma_1 = v_\alpha + v \left(\Gamma_{12}^2 - \frac{B_\alpha}{B} \right) + u \frac{B}{A} \Gamma_{11}^2 + w b_2 B$$

$$\begin{aligned}\theta_1 &= w_\alpha + \frac{L}{A} u + \frac{M}{B} v \\ \varepsilon_2 &= v_\beta + v \left(\Gamma_{22}^2 - \frac{B_\beta}{B} \right) + u \frac{B}{A} \Gamma_{12}^2 + w b_1 B \\ \gamma_2 &= u_\beta + u \left(\Gamma_{12}^2 - \frac{A_\beta}{A} \right) + v \frac{A}{B} \Gamma_{22}^2 + w a_2 A \\ \theta_2 &= w_\beta + \frac{M}{A} u + \frac{N}{B} v\end{aligned}$$

Векторное уравнение равновесия оболочки в деформированном состоянии можно привести к виду [3, 4]:

$$\begin{aligned}\left(T_1^* \frac{B}{A} M_\alpha^* + S M_\beta^* \right)_\alpha + \left(T_2^* \frac{A}{B} M_\beta^* + S M_\alpha^* \right)_\beta &= -P \bar{v} a \quad (1.5) \\ T_1^* = T_1 \frac{1+e_2}{1+e_1}, \quad T_2^* = T_2 \frac{1+e_1}{1+e_2} \quad &\end{aligned}$$

$$\bar{v} a = AB(1+e_1)(1+e_2) \sin \chi_1$$

где T_1^* , T_2^* — обобщенные усилия, $M^* = M + u$ — радиус-вектор деформированной поверхности, T_1 , T_2 — усилия вдоль координатных линий, S — касательное усилие, e_1 , e_2 — удлинения линейных элементов, отнесенные к начальным размерам вдоль линий α и β , χ_1 — угол между координатными линиями в деформированном состоянии оболочки, P — вектор внешней нагрузки.

Выполним дифференцирование в уравнении (1.5). Используя формулы (1.1) — (1.4), получим векторное уравнение. Сведем его к трем скалярным, умножая обе части скалярно последовательно на векторы M_α / A , M_β / B и п. Получим следующие три уравнения:

$$\begin{aligned}& \left[\left(1 + \frac{\varepsilon_1}{A} \right) + \frac{\gamma_1}{A} \cos \chi \right] R_1 + \left[\frac{\gamma_2}{B} + \left(1 + \frac{\varepsilon_2}{B} \right) \cos \chi \right] R_2 + \\ & + T_1^* B \left[\left(\frac{\varepsilon_1}{A} \right)_\alpha + \left(\frac{\gamma_1}{A} \right)_\alpha \cos \chi - \gamma_1 \lambda_1 \sin \chi - \frac{\theta_1 L}{A^2} \right] + \\ & + T_2^* A \left[\left(\frac{\gamma_2}{B} \right)_\beta + \left(\frac{\varepsilon_2}{B} \right)_\beta \cos \chi - \left(1 + \frac{\varepsilon_2}{B} \right) \lambda_2 B \sin \chi - \frac{\theta_2 M}{AB} \right] + \\ & + S \left[(2A + \varepsilon_1)_\beta + \gamma_{2\alpha} + (\varepsilon_{2\alpha} + \gamma_{1\beta}) \cos \chi - \right. \\ & \left. - (\varepsilon_2 \lambda_1 A + \gamma_1 \lambda_2 B) \sin \chi - \theta_2 \frac{L}{A} - \theta_1 \frac{M}{A} \right] = -P_1 \bar{v} a \\ & \left[\left(1 + \frac{\varepsilon_1}{A} \right) \cos \chi + \frac{\gamma_1}{A} \right] R_1 + \left[\frac{\gamma_2}{B} \cos \chi + \left(1 + \frac{\varepsilon_2}{B} \right) \right] R_2 + \\ & + T_1^* B \left[\left(\frac{\varepsilon_1}{A} \right)_\alpha \cos \chi + \left(\frac{\gamma_1}{A} \right)_\alpha + \left(1 + \frac{\varepsilon_1}{A} \right) A \lambda_1 \sin \chi - \frac{\theta_1 M}{AB} \right] + \\ & + T_2^* A \left[\left(\frac{\gamma_2}{B} \right)_\beta \cos \chi + \left(\frac{\varepsilon_2}{B} \right)_\beta + \gamma_2 \lambda_2 \sin \chi - \frac{\theta_2 N}{B^2} \right] +\end{aligned}$$

$$\begin{aligned}
 & +S\left[(2B+\varepsilon_2)_\alpha+\gamma_{1\beta}+(\varepsilon_{1\beta}+\gamma_{2\alpha})\cos\chi+\right. \\
 & \left. +(\varepsilon_1\lambda_2B+\gamma_2\lambda_1A)\sin\chi-\theta_1\frac{N}{B}-\theta_2\frac{M}{B}\right]=-P_2\sqrt{a} \quad (1.6) \\
 & \frac{\theta_1}{A}R_1+\frac{\theta_2}{B}R_2+T_1*B\left[\left(\frac{\theta_1}{A}\right)_\alpha+\left(1+\frac{\varepsilon_1}{A}\right)\frac{L}{A}+\frac{\gamma_1M}{AB}\right]+ \\
 & +T_2*A\left[\left(\frac{\theta_2}{B}\right)_\beta+\frac{M\gamma_2}{AB}+\left(1+\frac{\varepsilon_2}{B}\right)\frac{N}{B}\right]+ \\
 & +S\left[\theta_{1\beta}+\theta_{2\alpha}+\left(2+\frac{\varepsilon_1}{A}+\frac{\varepsilon_2}{B}\right)M+\frac{\gamma_1N}{B}+\frac{\gamma_2L}{A}\right]=-P_3\sqrt{a} \\
 P_1 & =PM_\alpha/A, \quad P_2=PM_\beta/B, \quad P_3=Pn \\
 R_1 & =(T_1*B)_\alpha+AS_\beta, \quad R_2=(T_2*A)_\beta+BS_\alpha
 \end{aligned}$$

где κ_1 и κ_2 — геодезические кривизны координатных линий, λ_1 и λ_2 — чебышевские кривизны [5].

Уравнения (1.6) справедливы при любых значениях относительных деформаций и при любых перемещениях. В частном случае, когда координаты α , β являются линиями кривизны ($\chi=\pi/2$, $M=0$), эти уравнения полностью совпадают с уравнениями (2.7) — (2.9) из [1], которые были получены другим путем на основе вариационного подхода.

2. Имеют место следующие формулы, связывающие относительные деформации с вектором перемещения [6]:

$$\begin{aligned}
 (1+e_1)^2 & =1+\frac{1}{A^2}(2M_\alpha u_\alpha+u_\alpha^2), \quad (1+e_2)^2=1+\frac{1}{B^2}(2M_\beta u_\beta+u_\beta^2) \\
 (1+e_1)(1+e_2)\cos\chi_1 & =\cos\chi+\frac{1}{AB}(u_\alpha M_\beta+u_\beta M_\alpha+u_\alpha u_\beta)
 \end{aligned} \quad (2.4)$$

Используя выражения (1.4), получим

$$\begin{aligned}
 (1+e_{1,2})^2 & =\left(1+\frac{\varepsilon_{1,2}}{A_{1,2}}\right)^2+2E_{1,2} \\
 (1+e_1)(1+e_2)\cos\chi_1 & =\cos\chi+\frac{E_3}{A_1 A_2} \\
 E_{1,2} & =\frac{\gamma_{1,2}}{A_{1,2}}\left(1+\frac{\varepsilon_{1,2}}{A_{1,2}}\right)\cos\chi+\frac{1}{2}\left(\frac{\gamma_{1,2}}{A_{1,2}}\right)^2+\frac{1}{2}\left(\frac{\theta_{1,2}}{A_{1,2}}\right)^2 \\
 E_3 & =\gamma_1 A_2+\gamma_2 A_1+(\varepsilon_1 A_2+\varepsilon_2 A_1)\cos\chi+\varepsilon_1 \gamma_2+ \\
 & +\varepsilon_2 \gamma_1+\theta_1 \theta_2+(\gamma_1 \gamma_2+\varepsilon_1 \varepsilon_2)\cos\chi, \quad A_1=A, \quad A_2=B
 \end{aligned} \quad (2.2)$$

При $\chi=\pi/2$ и $M=0$ из формул (2.2) получим соотношения В. В. Новожилова, приведенные в [1].

Для решения конкретных задач необходимо знать зависимости между усилиями и деформациями. В [7] дан анализ различных форм таких зависимостей. В частности, для неогуковского материала в [1] получены формулы вида

$$T_{1,2}=f_{1,2}(e'_1, e'_2, e'_{12}), \quad S=f_3(e'_1, e'_2, e'_{12}) \quad (2.3)$$

где e'_1 , e'_2 , $e'_{12}=(\pi/2-\chi_1)$ — относительные деформации, выражющиеся

через перемещения в предположении, что криволинейные координаты на недеформированной поверхности оболочки ортогональны.

Чтобы воспользоваться соотношениями (2.3), необходимо получить формулы преобразования деформаций. Это можно сделать по методу [³]. Поскольку неогуковский материал является изотропным, то угол $\lambda=0$ (см. [³]). Получим формулы

$$\begin{aligned} e_1' &= e_1, \quad (1+e_2') \sin e_{12}' \sin \chi = -(1+e_1) \cos \chi + (1+e_2) \cos (\chi - e_{12}) \\ (1+e_2') \cos e_{12}' \sin \chi &= (1+e_2) \sin (\chi - e_{12}), \quad e_{12} = \chi - \chi_1 \end{aligned} \quad (2.4)$$

Для случая малых деформаций формулы (2.4) переходят в соответствующие формулы из [²]. Выразив из (2.4) e_1' , e_2' и e_{12}' через e_1 , e_2 и e_{12} и подставив в (2.3), получим искомые зависимости.

3. Краевые условия, соответствующие уравнениям (1.6), могут быть весьма различны и зависят от конкретной задачи. Здесь сформулируем два типа краевых условий. Первый тип соответствует случаю закрепления оболочки на неподвижном контуре Г. При этом

$$u|_G = v|_G = w|_G = 0 \quad (3.1)$$

Второй тип краевых условий определяется тем, что вдоль края оболочки, совпадающие с одной из координатных линий поверхности ($\alpha = \text{const}$), приложены усилия T_1° , S° и Q_1° . Эти усилия направлены вдоль единичных векторов M_α/A , M_β/B и n и сохраняют при деформировании свое направление. Составим условия равновесия внутренних и краевых сил. В частности, проектируя все силы на направление вектора M_α/A , получим

$$T_1 \cos \varphi_1 + S \cos \varphi_2 = T_1^\circ + S^\circ \cos \chi$$

где φ_i — угол между $\frac{M_\alpha}{A}$ и единичным вектором $(M_\alpha + u_\alpha)/A(1+e_1)$, на- правленным по касательной к линии α в деформированном состоянии оболочки. Находим

$$\cos \varphi_1 = \frac{M_\alpha}{A} \frac{M_\alpha + u_\alpha}{A(1+e_1)}, \quad \cos \varphi_2 = \frac{M_\alpha}{A} \frac{M_\beta + u_\beta}{B(1+e_2)}$$

Нетрудно выписать и два других условия равновесия. Учитывая формулы (1.4), после преобразований получим уравнения

$$\begin{aligned} \frac{T_1}{1+e_1} \left(1 + \frac{\varepsilon_1 + \gamma_1 \cos \chi}{A} \right) + \frac{S}{1+e_2} \left(\cos \chi + \frac{\gamma_2 + \varepsilon_2 \cos \chi}{B} \right) &= T_1^\circ + S^\circ \cos \chi \\ \frac{T_1}{1+e_1} \left(\cos \chi + \frac{\gamma_1 + \varepsilon_1 \cos \chi}{A} \right) + \frac{S}{1+e_2} \left(1 + \frac{\varepsilon_2 + \gamma_2 \cos \chi}{B} \right) &= S^\circ + T_1^\circ \cos \chi. \end{aligned} \quad (3.2)$$

$$T_1 \theta_1 / A(1+e_1) + T_2 \theta_2 / B(1+e_2) = Q_1^\circ$$

В частном случае, когда $\chi = \pi/2$, $M = 0$, из уравнений (3.2) следуют результаты, полученные другим путем в [¹].

Уравнения (1.6) и формулы (2.2) являются наиболее общими. Применительно к конкретному виду оболочки в них следует внести соответствующие изменения. Например, для мягкой оболочки эти уравнения описывают двухосное напряженное состояние. Поэтому они должны решаться с одновременным использованием условия существования двухосного напряженного состояния [³, ⁴]:

$$T_1 T_2 - S^2 \geq 0, \quad T_1 + T_2 + 2S \cos \chi_1 > 0 \quad (3.3)$$

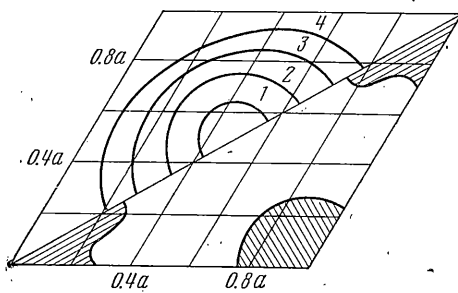
Если условия (3.3) не выполняются, то оболочка имеет одноосные зоны и задача ставится иначе [3, 4]. Для сетчатой оболочки (вантовой системы), образованной двумя семействами взаимно перекрещивающихся нитей, направленных вдоль координатных линий, следует положить $S=0$, $T_1^*B=T_1'(1+e_1)^{-1}$, $T_2^*A=T_2'(1+e_2)^{-1}$, где T_1' , T_2' — напряжения нитей. Если принять допущения из [8], то из уравнений (1.6) получим уравнения (4.22) из этой работы.

4. В качестве примера рассмотрим задачу расчета первоначально плоской мембраны, имеющей форму ромба с острым углом 60° , под действием внутреннего избыточного давления p . По краям мембрана закреплена неподвижно. Для данного

примера $M=i\alpha+j\beta$, $\chi=\pi/3$. Получим систему трех квазилинейных уравнений второго порядка. Ниже приводится одно из них, соответствующее третьему уравнению в (1.6):

$$T_1^*w_{\alpha\alpha} + 2Sw_{\alpha\beta} + T_2^*w_{\beta\beta} + (T_{1\alpha}^* + S_\beta)w_\alpha + (T_{2\beta}^* + S_\alpha)w_\beta + \quad (4.1)$$

$$+ \frac{\sqrt{3}}{2}P(1 + u_\alpha + v_\beta + u_\alpha v_\beta - v_\alpha u_\beta) = 0$$



Расчет производился на ЭВМ БЭСМ-6 методом конечных разностей [6]. Число шагов вдоль координат было принято $n=10$ и $n=12$. Результаты расчетов практически совпали. Методика расчета была следующей. Параметр χ_0 был выбран таким, что максимальное значение относительных деформаций было порядка 0.5 (это в 50 раз больше того порядка деформаций, который принят в [3, 4]). Такое ограничение позволило представить $T_{1,2}^*$ и S в виде рядов по степеням e_1 , e_2 и e_{12} и упростить алгоритм расчета. Кроме того, использовался факт симметрии данной задачи.

В результате конечно-разностной аппроксимации уравнений (4.1) получена система нелинейных алгебраических уравнений, имеющая единственное решение. Указанная система решалась методом Ньютона. Результаты расчетов для случая $\chi_0=0.42$ представлены на фигуре. На нижней половине штриховкой показаны краевые угловые зоны, внутри которых не выполняются условия существования двухосного напряженного состояния (3.3), и, следовательно, в этих зонах имеются одноосные области. На верхней половине с помощью линий уровня изображена деформированная поверхность оболочки. Безразмерный прогиб в центре $f_0=0.232$, кривая 1 соответствует $f_0=0.192$, кривая 2 — $f_0=0.129$, кривая 3 — $f_0=0.091$, кривая 4 — $f_0=0.056$.

ЛИТЕРАТУРА

Поступила 29 I 1979

1. Усюкин В. И. Об уравнениях теории больших деформаций мягких оболочек. Изв. АН СССР. МТТ, 1976, № 4.
2. Гольденвейзер А. Л. Теория упругих тонких оболочек. Изд. 2. М., «Наука», 1976.
3. Алексеев С. А. Основы общей теории мягких оболочек. В сб.: Расчет пространственных конструкций. Вып. 11. М., Стройиздат, 1967.
4. Алексеев С. А. Задачи статики и динамики мягких оболочек. Тр. VI Всес. конф. по теории оболочек и пластинок. М., «Наука», 1966.
5. Шуликовский В. И. Классическая дифференциальная геометрия в тензорном изложении. М., Физматгиз, 1963.
6. Вольмир А. С. Оболочки в потоке жидкости и газа. М., «Наука», 1976.
7. Грин А., Адкинс Дж. Большие упругие деформации и пелинейная механика сплошной среды. М., «Мир», 1965.
8. Кузнецов Э. Н. Введение в теорию вантовых систем. М., Стройиздат, 1969.